

Fig. 1

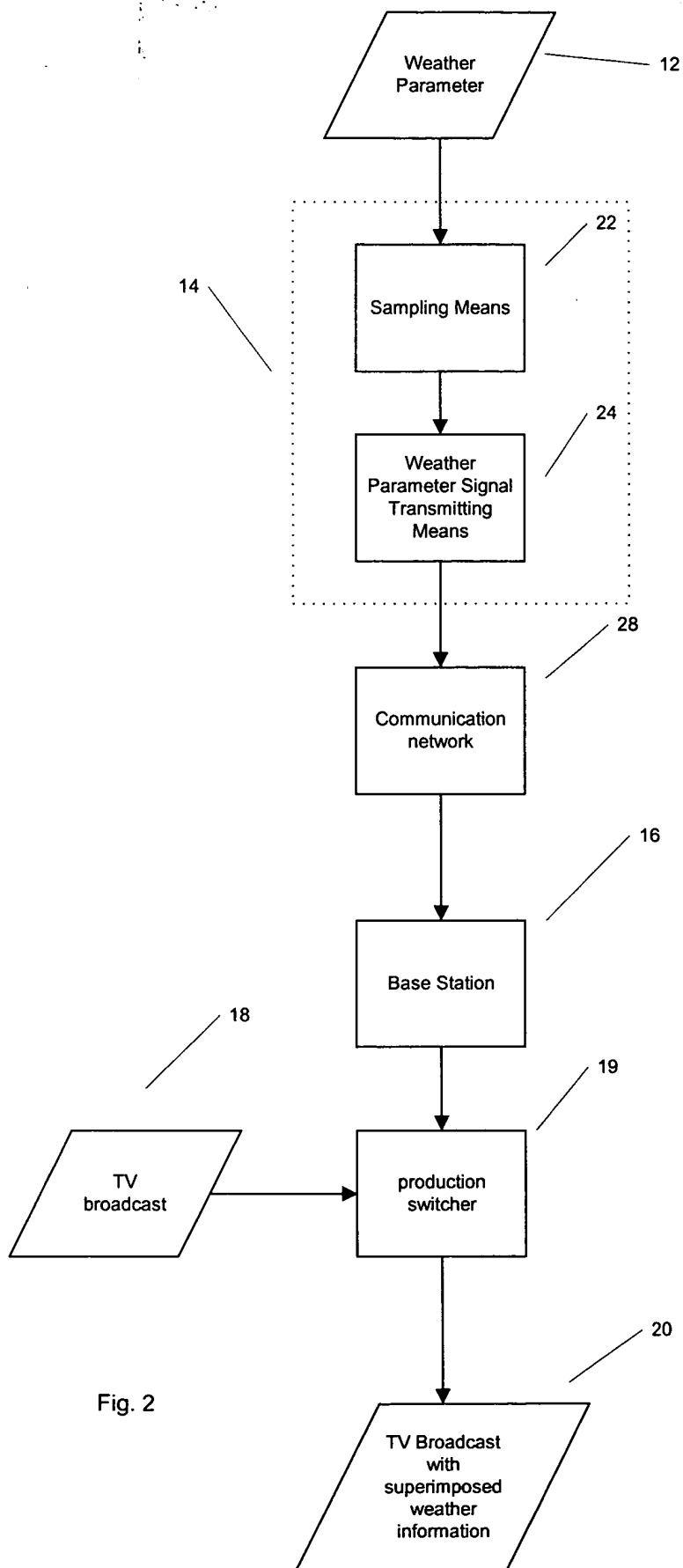


Fig. 2

002230"42340960

14

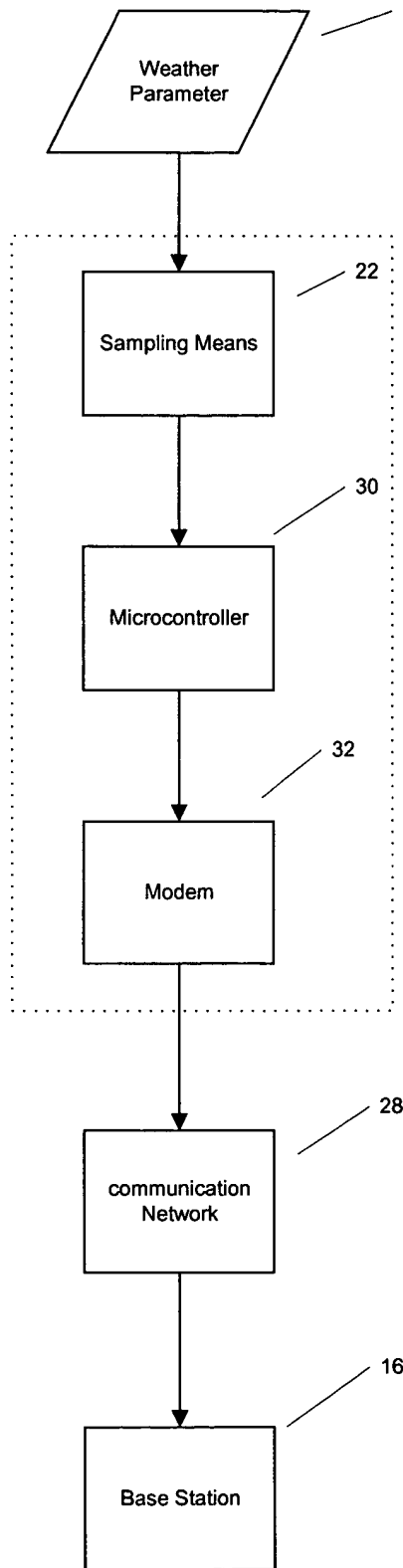


Fig. 3

002290*42840960

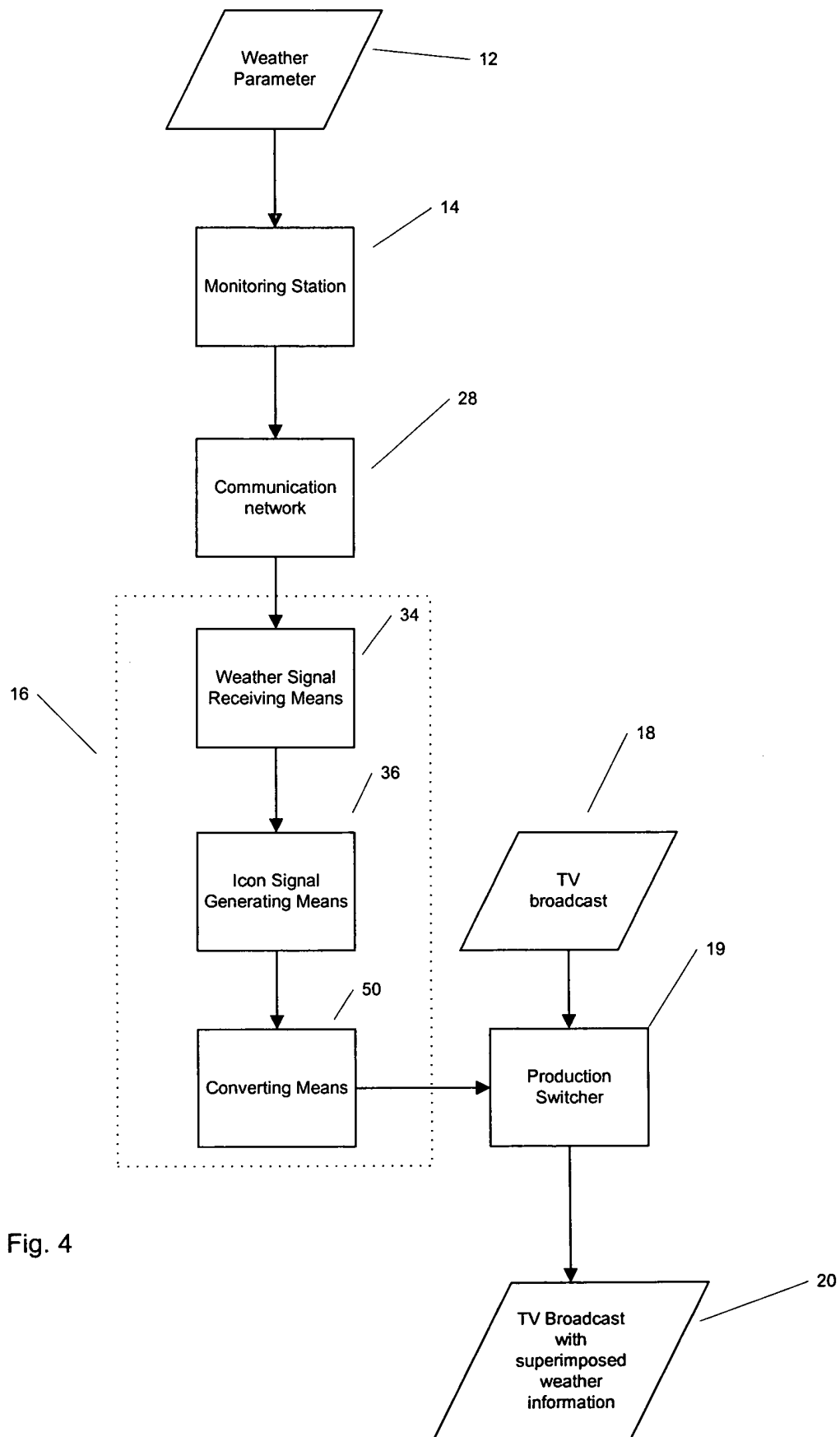


Fig. 4

002290-42840960

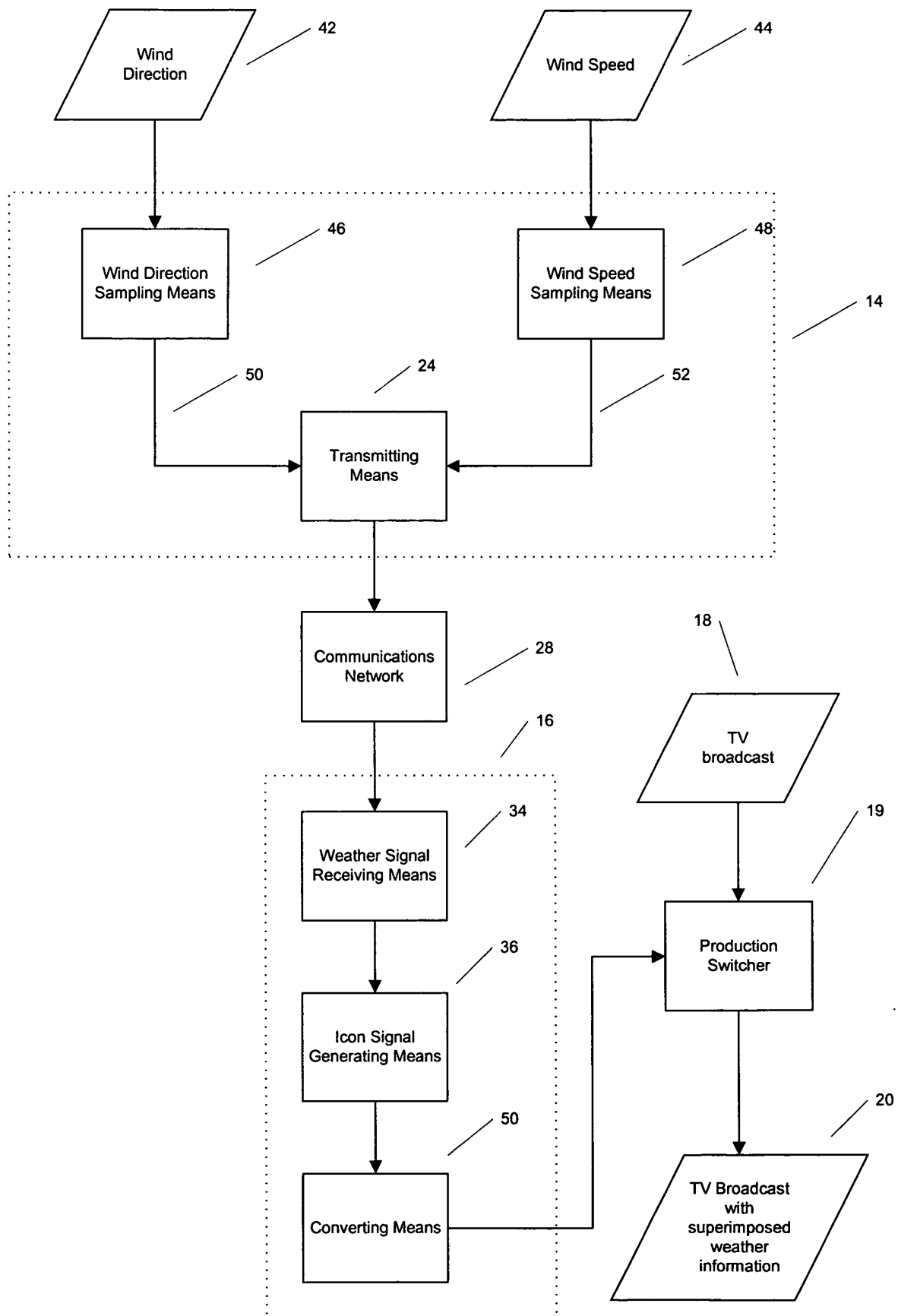


Fig. 5

0023042840360

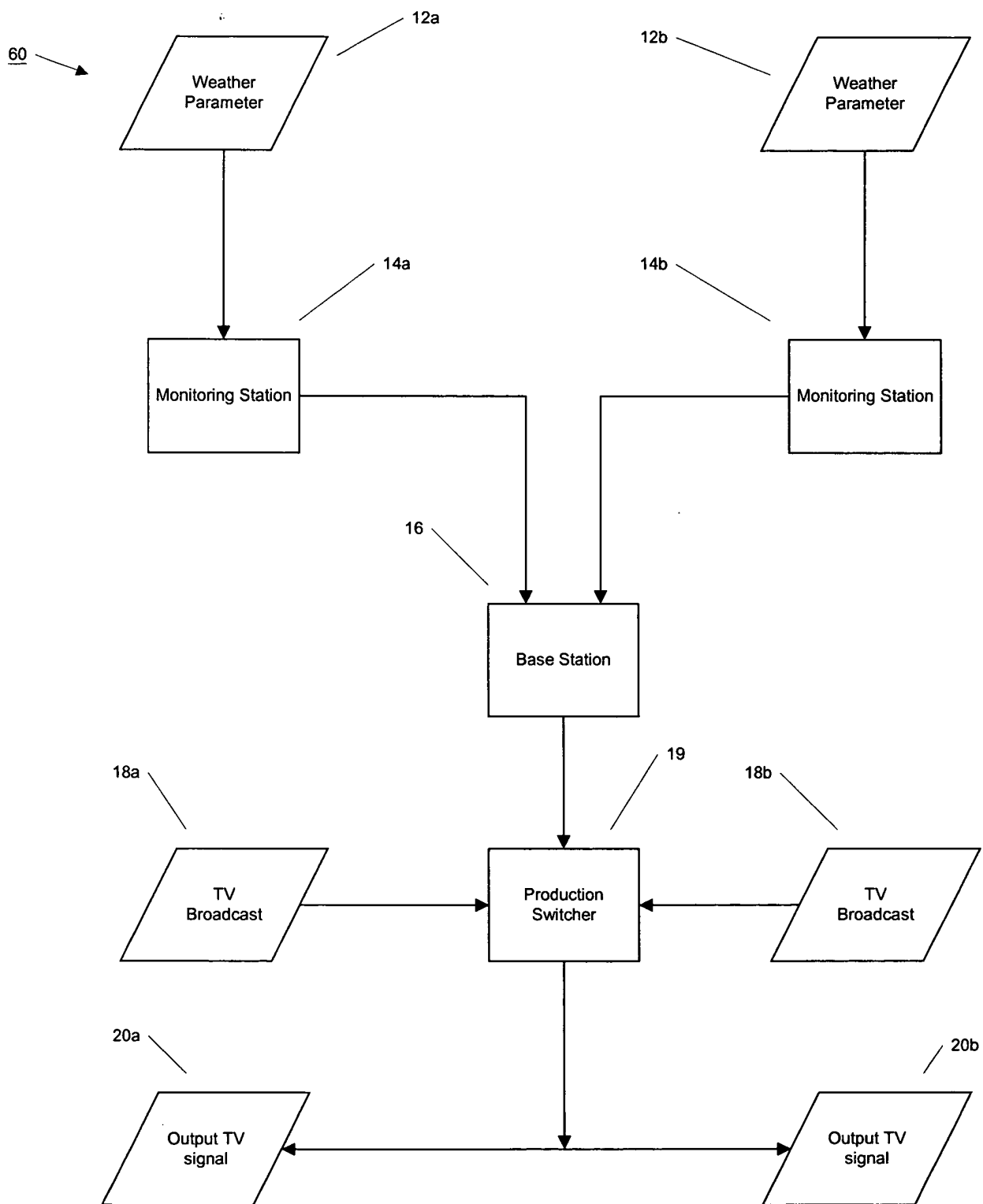
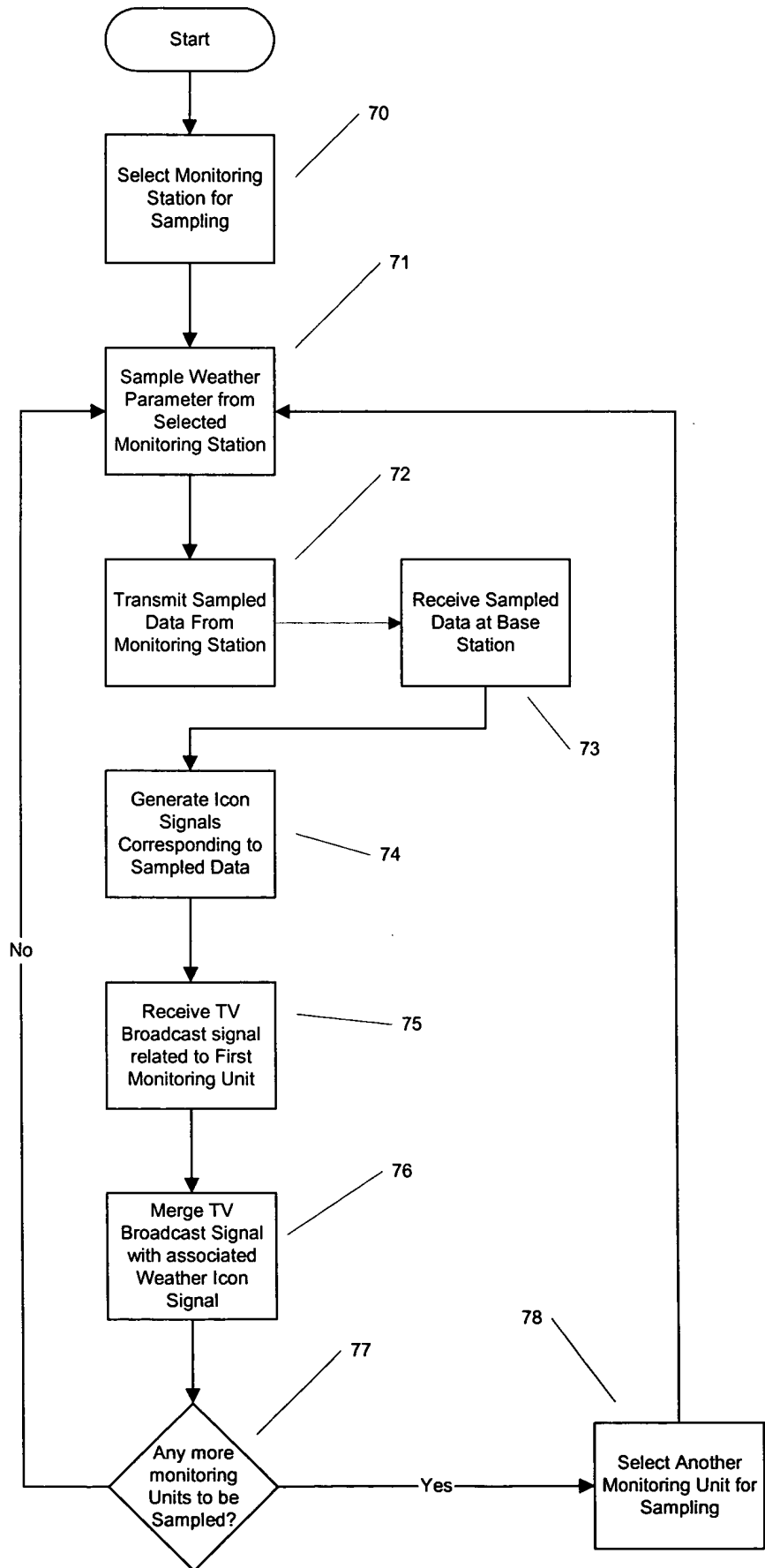


Fig. 6

Fig. 7



20250424 0920

002230" 42340360

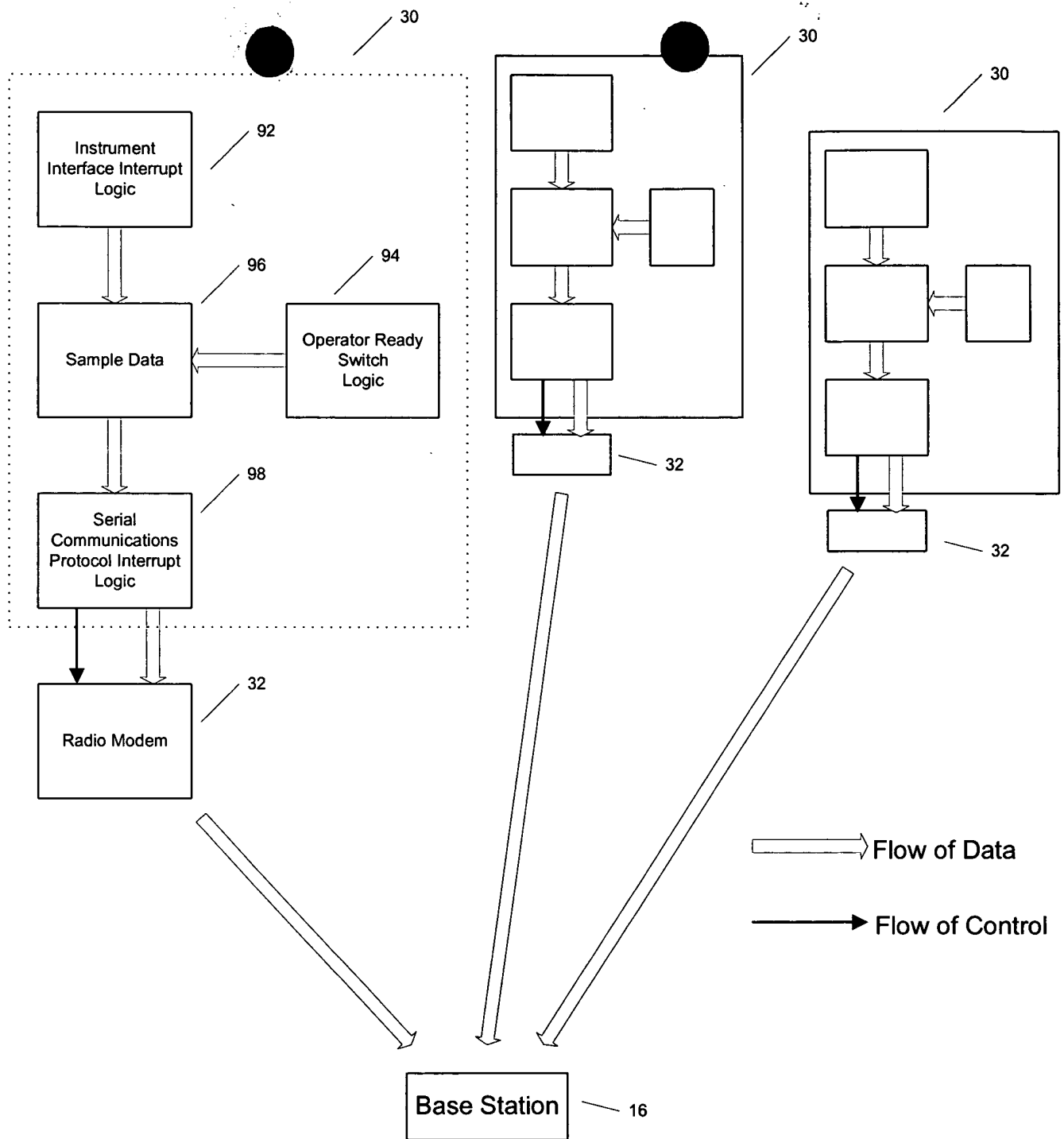
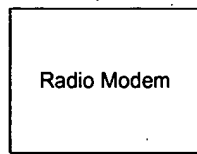
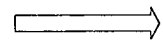


Fig. 8



32

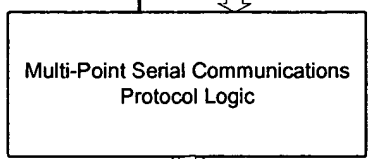


Flow of Data



Flow of Control

16

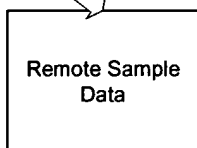
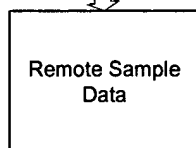
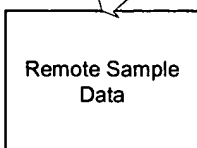


82

84a

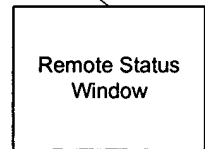
84b

84c

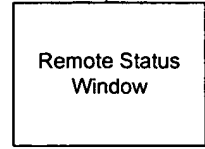


81

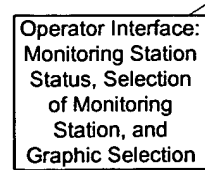
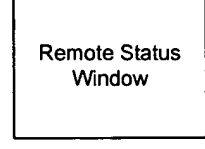
86a



86b



86c



87



88

89



85

83b

83a

50

81

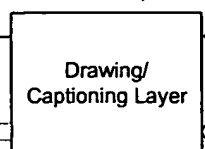
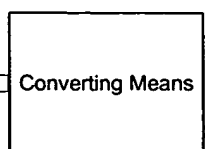


Fig. 9